ЭЛЕКТРОДИНАМИКА И РАСПРОСТРАНЕНИЕ РАДИОВОЛН

УЛК 621.371.334:537.874.6

ЭЛЕКТРОДИНАМИЧЕСКИЕ МОДЕЛИ НАМАГНИЧЕННЫХ ГРАФЕНОВЫХ ДИФРАКЦИОННЫХ РЕШЕТОК, ОСНОВАННЫЕ НА РЕШЕНИИ ИНТЕГРАЛЬНЫХ УРАВНЕНИЙ ДЛЯ ПЛАЗМОННЫХ АНИЗОТРОПНЫХ СТРУКТУР

© 2024 г. А. М. Лерер

Южный федеральный университет,
ул. Зорге, 5, Ростов-на-Дону, 344090 Российская Федерация
E-mail: lerer@sfedu.ru
Поступила в редакцию 09.01.2024 г.
После доработки 09.01.2024 г.
Принята к публикации 25.01.2024 г.

Двумя методами решена краевая задача о дифракции плоской электромагнитной волны на дифракционной решетке из графеновых полосок при наличии магнитного поля. При решении полученных интегральных и парных сумматорных уравнений использован метод Галеркина с базисом в виде полиномов Лежандра и Гегенбауэра. В результате получены системы линейных алгебраических уравнений (СЛАУ) с быстрой внутренней сходимостью. Все матричные элементы СЛАУ выражаются в явном виде.

Ключевые слова: дифракционная решетка, графен, магнитное поле, интегральные уравнения, метод Галеркина, плазмонный резонанс

DOI: 10.31857/S0033849424110027, **EDN:** HOMHBY

введение

В традиционных плазмонных материалах, таких как Au, Ag, Cu, AZO и др., поверхностные плазмонные поляритоны (ППП) существуют в видимом и ближнем ИК-диапазонах. Графен поддерживает ППП в гораздо более низком спектральном диапазоне, от терагерцовых (ТГц) до средних ИК-частот. Поэтому частота плазмонных резонансов в графене близка к циклотронной частоте в намагниченной плазме. Экспериментальные подтверждения существования циклотронного резонанса в графене приведены в работах [1, 2]. Изменением величины магнитного поля можно регулировать частоту плазмонного резонанса [2-7]. поворачивать плоскость поляризации [5, 8], создавать устройства на эффекте Фарадея [5]. Одна из распространенных конструкций графеновых метаповерхностей – дифракционные решетки (ДР) (см. обзор [9]). В большинстве теоретических работ по графеновым ДР используются стандартные коммерческие программы электродинамического моделирования, основанные на решениях волнового уравнения методами конечных элементов в частотной и временной областях, а также конечного интегрирования. Несомненное достоинство этой группы методов – универсальность. Недостатки — высокие требования к компьютеру, большое время счета, необходимость дискретизации не только рассеивателя, но и окружающего пространства, трудности при расчете объекта, содержащего мелкомасштабные элементы. Кроме того, возникают проблемы при переходе к открытому пространству с удовлетворением условия излучения. Эти проблемы отсутствуют при решении интегральных и интегро-дифференциальных уравнений (ИДУ).

В работе [10] решение задачи дифракции электромагнитной волны сведено к решению парных сумматорных уравнений (ПСУ) относительно плотности тока на графеновых полосках. Эта же задача может быть решена методом объемных интегро-дифференциальных уравнений (ОИДУ) относительно напряженности электрического поля в полосках [11] и др. Метод ОИДУ описан в [12]. Предполагается [10, 11], что графен описывается скалярной поверхностной проводимостью. В магнитном поле проводимость графена — тензор.

Цель работы — модификация двух типов интегральных уравнений для расчета анизотропных диэлектрических и графеновых дифракционных решеток.

1. ПОСТАНОВКА ЗАДАЧИ

Объект исследования тот же, что и в работе [10] лифракционная решетка образована прямоугольными графеновыми, металлическими и диэлектрическими полосками (пленками). Число полосок в трехмерной элементарной ячейке M — произвольное: полоски могут лежать как на поверхности, так и в глубине многослойного диэлектрика, у которого произвольное число слоев *N*. Диэлектрик с номером N — полубесконечная подложка. Диэлектрики могут иметь потери. Потери описываются мнимой частью показателя преломления. В разработанных программах создана база данных для частотной зависимости комплексного показателя преломления для более десяти плазмонных материалов (Au, Ag, Cu, AZO и др. в оптическом диапазоне). Ось z перпендикулярна границам раздела сред, периоды по осям $x, y - d_x d_y$. В отличие от [10] в данной работе ДР находится в магнитном поле, направленном по оси z.

Пусть графен находится в магнитном поле, нормальном к поверхности. Графен лежит в плоскости z = 0. Граничные условия на графене следующие:

— непрерывны тангенциальные составляющие напряженности электрического поля \vec{E}_{tg} ,

Элементы матрицы проводимости σ определяются по формуле из работы [13]:

$$\sigma_{xx} = \sigma_{yy} = -\frac{2D}{\pi} i \frac{\omega + i / \tau}{\omega_B^2 - (\omega + i / \tau)^2},$$

$$\sigma_{xy} = -\frac{2D}{\pi} \frac{\omega_B}{\omega_B^2 - (\omega + i / \tau)^2}, \sigma_{yx} = -\sigma_{xy}, \quad (1)$$

где

$$D = \frac{2\sigma_0 E_{\rm F}}{\hbar}$$

 $(\sigma_0 = 6.08 \times 10^{-5} \text{ См}, E_F -$ энергия Ферми),

$$\omega_B = \frac{eBv_F^2}{E_F}$$

(B- магнитная индукция, $v_{\rm F}-$ скорость Ферми), $\tau-$ время релаксации.

Формулы (1) должны быть справедливы и при B=0. На рис. 1 приведено сравнение результатов расчета по формуле (1) при B=0 и по интегральной формуле Кубо—Хансена [14]. Как видно, погрешность (1) менее 5% вплоть до 25 ТГц.

2. ПАРНЫЕ СУММАТОРНЫЕ УРАВНЕНИЯ

Пусть графеновые полоски лежат в плоскости z = 0. Их поверхность в пределах элементарной

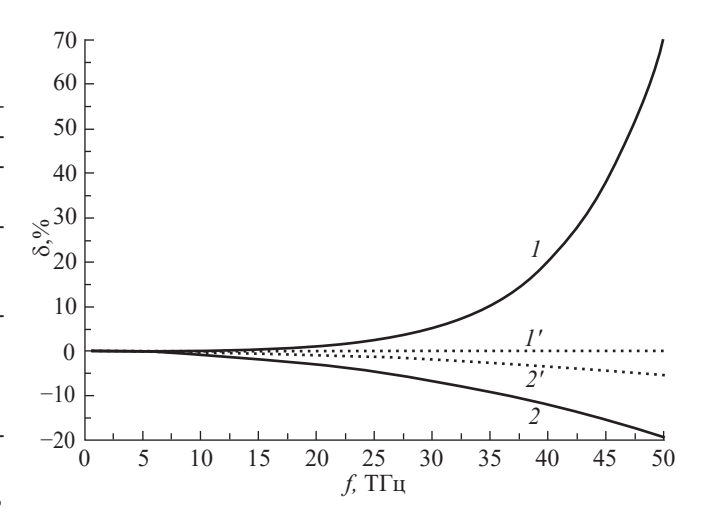


Рис. 1. Частотные зависимости относительной погрешности результатов расчета проводимости σ по формуле Кубо [14] и приближенной формуле (1) при B=0: реальная (1, I) и мнимая части σ (2, I2) при I3 = 0.25 (1, I2) и 0.45 эВ (I3, I3); I4 = 1 пс.

ячейки обозначим через S. Пусть заданы плотности токов \vec{J} на полосках. Тогда нетрудно найти электромагнитное поле, создаваемое этими токами. В частности, по формулам из [10, 11] получаем

$$\vec{E}(x,y,0) =$$

$$= -iZ_0 \frac{4}{d_x d_y} \sum_{m=-\infty}^{\infty} \sum_{n=-\infty}^{\infty} \mathbf{g}_{mn}(0,0) \vec{j}_{mn} \exp[i(\alpha_m x + \beta_n y)],$$

$$\vec{j}_{mn} = \int_{S} \vec{J}(x',y') [-i(\alpha_m x' + \beta_n y')] ds,$$

$$\mathbf{G}(\bar{x},\bar{y},z,z') =$$

$$= \frac{4}{d_x d_y} \sum_{m=-\infty}^{\infty} \sum_{n=-\infty}^{\infty} \mathbf{g}_{mn}(z,z') \exp[i(\alpha_m \bar{x} + \beta_n \bar{y})]$$

— тензорная функция Грина, $\bar{x}=x-x', \bar{y}=y-y',$ $\alpha_m=\frac{2m\pi}{d_x}+k_x, \beta_n=\frac{2n\pi}{d_y}+k_y, k_x, k_y$ — компоненты волнового вектора \vec{k} , $\mathbf{g}_{mn}(z,z')$ см. [10, 11], Z_0 — волновое сопротивление вакуума.

Используя граничные условия на графеновых полосках — непрерывность касательного электрического поля и

$$\vec{J}(x,z) = \sigma \left[\vec{E}(x,y,0) + \vec{E}^{\text{BHeIII}}(x,y,0) \right]$$

(в это уравнение входят касательные компоненты поля), получим первую пару уравнений, где $\vec{E}^{\,\mathrm{BHem}}(x,y,z)$ — внешнее поле. Для нахождения $\vec{E}^{\,\mathrm{BHem}}(x,y,z)$ решаем задачу о падении плоской волны на исследуемую многослойную структуру без решетки:

$$\vec{E}^{\text{BHeIII}}(x, y, 0) - iZ_0 \frac{4}{d_x d_y} \sum_{m=-\infty}^{\infty} \sum_{n=-\infty}^{\infty} \mathbf{g}_{mn}(0, 0) \vec{j}_{mn} \exp[i(\alpha_m x + \beta_n y)] =$$

$$= \sigma^{-1} \vec{J}(x, y), x, y \in S. \tag{2}$$

Вторая пара уравнений следует из отсутствия тока вне S:

$$\frac{4}{d_x d_y} \sum_{m=-\infty}^{\infty} \sum_{n=-\infty}^{\infty} \mathbf{j}_{mn} \exp \left[i\left(\alpha_m x + \beta_n y\right)\right] = 0, x, y \notin S. (3)$$

Так как решение для двумерно-периодических решеток принципиально не отличается от решения для одномерно-периодических решеток, то для уменьшения количества выкладок рассмотрим решение для одномерно-периодических решеток. Ленты шириной 2l расположены вдоль оси y. В этом случае в ряде по n остается только нулевой член.

Эти уравнения решаем методом Галеркина [10]:

$$j_x(x) = \sum_{j=0}^{\infty} X_j^{(1)} B_j^{(3/2)}(x), j_y(x) = \sum_{j=0}^{\infty} X_j^{(2)} B_j^{(1/2)}(x),$$

где

$$B_{j}^{(v)}(x) = Z_{j}^{(v)} \left(l^{2} - x^{2}\right)^{v-1/2} C_{j}^{v} \left(\frac{x}{l}\right), \tag{4}$$

 C_i^{v} – полиномы Гегенбауэра.

Для идеально проводящей полоски получаем

$$B_j^{(1/2)}(x) = Z_j^{(1/2)} \left(l^2 - x^2 \right)^{-1/2} T_j \left(\frac{x}{l} \right),$$

$$B_j^{(3/2)}(x) = Z_j^{(3/2)} \left(l^2 - x^2 \right)^{1/2} U_j \left(\frac{x}{l} \right),$$

где T_i, U_i — полиномы Чебышева.

Коэффициенты $Z_{j}^{(v)}$ в (4) выберем так, чтобы

$$\tilde{B}_{j}^{(v)}(\alpha_{m}) = \int_{-l}^{l} Z_{j}^{(v)} \left(l^{2} - x^{2}\right)^{v-1/2} C_{j}^{v} \left(\frac{x}{l}\right) \exp\left(-i\alpha_{m}x\right) dx =$$

$$= \frac{J_{j+v}(\alpha_{m}l)}{(\alpha_{m}l)^{v}}.$$
(5)

Основная трудность при применении метода Галеркина в данном случае — нахождение интегралов в правой части (2), (3). Нужно найти интегралы

$$P_{j',j}^{(v',v)} = \int_{l}^{l} B_{j'}^{(v')*}(x) B_{j}^{(v)}(x) dx.$$

Используем равенство Парсеваля и (5):

$$P_{j,j'}^{\left(\mathbf{v},\mathbf{v}'\right)} = \frac{1}{2\pi} \int\limits_{-\infty}^{\infty} \frac{J_{j+\nu}\left(\alpha l\right)}{\left(\alpha l\right)^{\nu}} \frac{J_{j'+\nu'}\left(\alpha l\right)}{\left(\alpha l\right)^{\nu'}} d\alpha.$$

Если j,j' разной четности, то $P_{j,j'}^{(\mathbf{v},\mathbf{v}')}=0$. В противном случае [15] имеем

$$P_{j,j'}^{(v,v')} = \frac{1}{\pi l} \frac{1}{2^{v'+v}} \Gamma(v'+v) \frac{\Gamma\left(\frac{j+j'+1}{2}\right)}{\Gamma\left(\frac{j+j'+1}{2}+v'+v\right)} \times \frac{1}{\Gamma\left(\frac{j-j'+1}{2}+v\right) \Gamma\left(\frac{j'-j+1}{2}+v'\right)}.$$
 (6)

Получить частные случаи из (6) легко: пусть

$$P_{j',j}^{\left(1/2,1/2\right)} = \frac{1}{\pi l} \frac{1}{2j+1} \delta_{jj'},$$

Введем обозначение $u = \frac{j + j' + 1}{2}$. Тогда получим

$$P_{j,j'}^{(3/2,3/2)} = \begin{cases} \frac{1}{\pi l} \frac{1}{2^2} \frac{1}{(2+u)(1+u)u}, j = j'; \\ \frac{1}{\pi l} \frac{1}{8} \frac{1}{(2+u)(1+u)u}, j + 2 = j'; \\ 0, |j-j'| > 2. \end{cases}$$

$$P_{j,j'}^{(1/2,3/2)} = \frac{1}{\pi l} \frac{1}{4} \frac{1}{(1+u)u} \sigma_{j,j'},$$

где $\sigma_{j'j}=1$ при j'=j или j=j'-2, в остальных случаях $\sigma_{j'j}=0$.

Таким образом, все матричные элементы системы линейных алгебраических уравнений, полученной при решении (2), (3) методом Галеркина, выражаются в явном виде. СЛАУ имеют быструю внутреннюю сходимость — для достижения погрешности по внутренней сходимости менее 1% достаточно решать СЛАУ 10...20-го порядка. Время счета одной частотной точки менее 0.1 с.

3. ОБЪЕМНЫЕ ИНТЕГРО-ДИФФЕРЕНЦИАЛЬНЫЕ УРАВНЕНИЯ

Рассмотрим ДР, образованную двумерно-периодическими анизотропными телами объемом V, расположенными на многослойной подложке. Диэлектрическая проницаемость анизотропных тел имеет вид

$$\boldsymbol{\varepsilon} = \begin{cases} \boldsymbol{\varepsilon}_{xx} & \boldsymbol{\varepsilon}_{xy} & 0 \\ -\boldsymbol{\varepsilon}_{xy} & \boldsymbol{\varepsilon}_{xx} & 0 \\ 0 & 0 & \boldsymbol{\varepsilon}_{77} \end{cases}.$$

Решение дифракции на такой ДР методом объемного интегрального уравнения (ОИДУ) с изотропными слоями приведено в [11]. Нетрудно показать, что для анизотропных тел ОИДУ аналогичное, только с заменой скалярной диэлектрической проницаемости на тензорную:

$$\vec{E}(x,y,z) = \vec{E}^{\text{BHeIII}}(x,y,z) + \left[\text{grad div} + k^2\right] \int_{V} \mathbf{G}(\bar{x},\bar{y},z,z') \tau \vec{E}(x',y',z') dv', x, y, z \in V,$$

где $\vec{E}(x,y,z)$ — искомая напряженность электрического поля внутри V в одной элементарной ячейке, функция Грина приведена выше.

Преобразуем это уравнение. Обозначим $\vec{D} = \tau \vec{E}$, где $\tau = \varepsilon - \mathbf{I}$ ($\mathbf{I} - \mathbf{e}$ диничная матрица). Тогда получим

$$\boldsymbol{\tau}^{-1}\vec{D}(x,y,z) = \vec{E}^{\text{BHeIII}}(x,y,z) + \left[\text{grad div} + \right]$$

$$+ k^2 \left[\int_V \mathbf{G}(\bar{x}, \bar{y}, z, z') \vec{D}(x', y', z') dv', x, y, z \in V. \right]$$
 (7)

Следует отметить, что анизотропная часть находится в левой (свободной) части интегро-диффе-

ренциального уравнения (7), поэтому метод решения и программа для изотропного диэлектрика легко трансформируются в метод и программу для диэлектрика анизотропного. Аналогичное утверждение справедливо и для нелинейного диэлектрика для эффекта самовоздействия.

Решение уравнения (7) методом Галеркина аналогично решению для ДР из изотропных элементов [11, 12]. Базисные функции — полиномы Лежандра по координатам *x*, *y* и сплайны первого порядка по координате *z*. Все матричные элементы полученных СЛАУ определяются в явном виде.

Пусть двумерно-периодические анизотропные тела это графеновые полоски, толщина которых равна t. Величина t не обязательно равна реальной толщине графена, достаточно потребовать kt << 1. Можно ввести эквивалентную диэлектрическую проницаемость графена

$$\varepsilon_{mn}=1+i\frac{Z_0\sigma_{mn}}{kt},$$

где индексы m, n принимают значения x, y. Так как величина ε_{zz} практически не влияет на характеристики графеновой ДР, то в программе полагалось $\varepsilon_{zz} = \varepsilon_{xx}$.

4. ОБСУЖДЕНИЕ ПОЛУЧЕННЫХ РЕЗУЛЬТАТОВ

На рис. 2 представлены результаты расчетов коэффициентов отражения и прохождения по мощ-

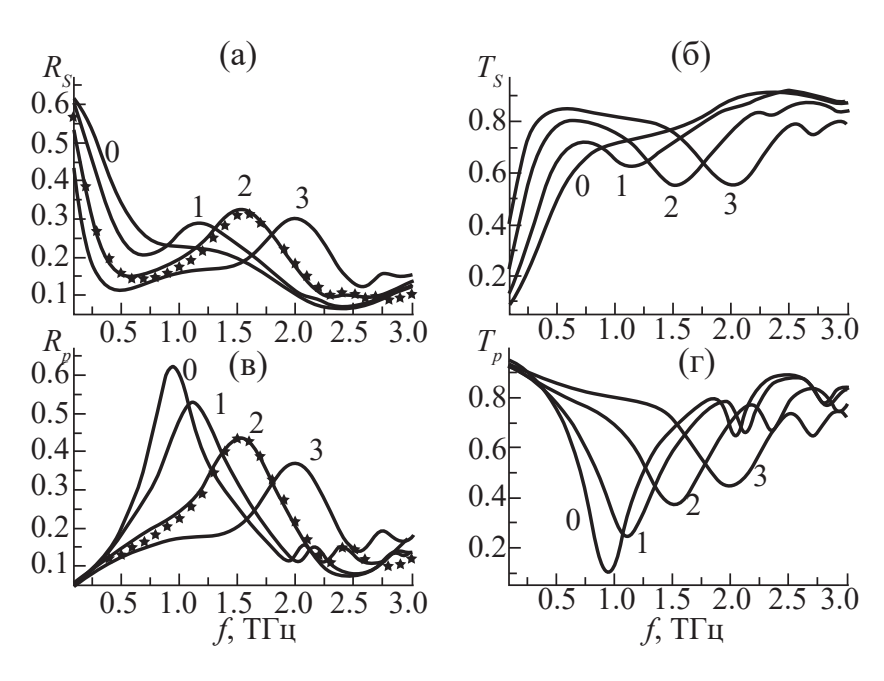


Рис. 2. Частотные зависимости коэффициентов отражения R (а, в) и прохождения T (б, г) при B = 0, 1, 2 и 3 Тл (цифры на кривых): s-поляризация (а, б) и p-поляризация падающей волны (в, г). Характеристики рассчитаны методами ПСУ (сплошные кривые) и ОИДУ (кривые со звездочками).

ности при нормальном падении и плоской волны на дифракционную решетку с параметрами: период 60 мкм, ширина лент 40 мкм, подложка с показателем преломления 1.5, между подложкой и графеновыми лентами диэлектрик толщиной h=40 мкм с показателем преломления 1.77. Параметры графена: $E_{\rm F}=0.45$ эВ, $\tau=1$ пс. Результаты получены методами ПСУ и ОИДУ. Видно хорошее соответствие между результатами расчета разными методами. Метод ПСУ проще, поэтому компьютерная программа быстрее. Например, на компьютере средней производительности для расчета всех кривых, представленных на рис. 2, потребовалось 200 с для метода ПСУ и 25 с для метода ОИДУ. Увеличение времени существенное, но не принципиальное.

Как видно из рис. 2, при отсутствии магнитного поля плазмонный резонанс проявляется только при p-поляризации падающей волны. При этой поляризации ток перпендикулярен лентам. Частота резонанса определяется не только параметрами графена и диэлектрика, но и шириной лент. При приложении магнитного поля даже при s-поляризации падающей волны появляется компонента напряженности электрического поля и тока, перпендикулярная лентам (рис. 3). Поэтому плазмонный резонанс наблюдается и при s-поляризация. При повороте плоскости падения на угол ϕ относительно направления лент плазмонный резонанс наблюдается при обеих поляризациях. При угле $\phi = 45^\circ$ и B = 0, естественно, $R_s = R_p, T_s = T_p$, а в магнитном поле (рис. 4) $R_s \neq R_p, T_s \neq T_p$.

Таким образом, изменением величины поля подмагничивания можно изменять частоту и глу-

бину плазмонного резонанса. Как хорошо известно, можно изменять величину $E_{\rm F}$, а значит, и положение плазмонного резонанса, подавая на графен электростатическое поле. Простейшая конструкция такой решетки — решетка с проводящей пленкой между подложкой и диэлектрическим слоем, на котором расположены графеновые ленты. Частотные характеристики такой ДР изображены на рис. 5. Плоскость падения перпендикулярна лентам, угол падения 30° . Коэффициент прохождения такой ДР равен $T\approx 0$.

ЗАКЛЮЧЕНИЕ

Решение краевой задача о дифракции плоской электромагнитной волны на дифракционной решетке из графеновых полосок при наличии магнитного поля сведено к решению двух типов интегральных уравнений. Первый – парные сумматорные уравнения, в которых неизвестная функция - плотность тока на графеновых полосках. Второй – интегро-дифференциальное уравнение относительно напряженности электрического поля внутри графеновых полосок. Показано, что анизотропия поверхностной проводимости по сравнению с изотропной проводимостью приводит лишь к изменению свободного члена в интегральных уравнениях. При решении полученных интегральных и парных сумматорных уравнений использован базис в виде полиномов Лежандра и Гегенбауэра. Все матричные элементы системы линейных алгебраических уравнений (СЛАУ), полученной при решении

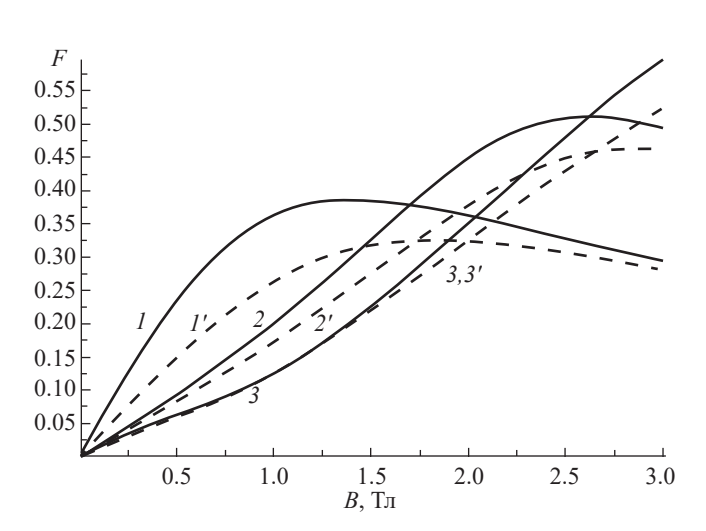


Рис. 3. Соотношение продольной и поперечной компонент напряженности электрического поля на графеновых лентах при f=0.95 (I), 1.5 (2) и 2 ТГц (3): s-поляризация падающей волны, $F=\left|E_x/E_y\right|$ (сплошные кривые), p-поляризация, $F=\left|E_y/E_x\right|$ (штриховые).

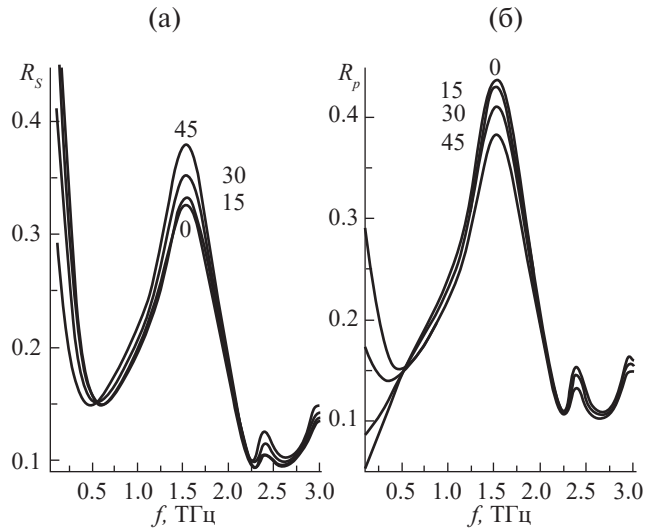


Рис. 4. Частотные зависимости коэффициента отражения при повороте плоскости падения при разных углах поворота, $\phi = 0$, 15, 30 и 45 град (цифры на кривых); магнитное поле B = 2 Тл: s-поляризация (а) и p-поляризация падающей волны (б).

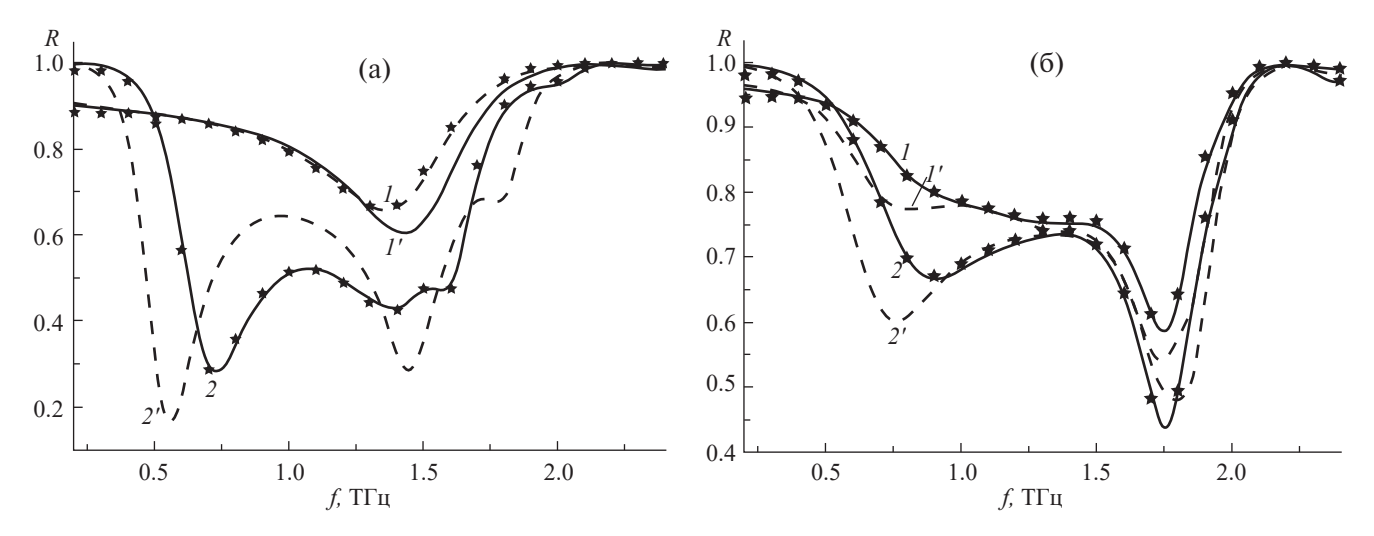


Рис. 5. Частотные зависимости коэффициента отражения ДР с золотой пленкой при B=0 (a) и 2 Тл (б): s-поляризация (1, I) и p-поляризация (2, I) падающей волны при ширине лент 40 (1, I) и 50 мкм (I', I'). Методы расчета ПСУ (сплошные кривые) и ОИДУ (звездочки).

ПСУ, выражаются в явном виде. СЛАУ имеют быструю внутреннюю сходимость.

БЛАГОДАРНОСТИ

Автор благодарен Г. С. Макеевой за сотрудничество и помощь в написании данной работы.

ФИНАНСИРОВАНИЕ РАБОТЫ

Работа выполнена при финансовой поддержке Министерства науки и высшего образования Российской Федерации (государственное задание в сфере научной деятельности (проект № 0852-2020-0032)/(БАЗ0110/20-3-07ИФ)).

СПИСОК ЛИТЕРАТУРЫ

- 1. *Tamagnone M.*, *Slipchenko T. M.*, *Moldovam C. et al.* // Phys. Rev. B. 2018. V. 97. № 24. P. 241410.
- 2. *Chin M. L., Matschy S., Stawitzki F. et al.* // J. Phys. Photonics. 2021. V.3. № 1. P. 01LT01.
- 3. *Kuzmin D. A., Bychkov I. V., Shavrov V. G. et al.* // Nanophotonics. 2018. V. 7. № 3. P. 597. https://doi.org/10.1515/nanoph-2017—0095
- 4. *Ningning Wang, Linhui Ding, Weihua Wang //* Phys. Rev. B. 2023. V. 108. № 8. P. 085406.
- Zesen Zhou, Zhilong Gan, Lei Cao // J. Phys. D: Appl. Phys. 2023. V. 56. P. 365104.

- https://doi: 10.1088/1361-6463/acda45
- 6. Liu Jian-Qiang, Zhou Yu-Xiu, Li Li, Wang Pan, Zayats A. V. // Opt. Express. 2015. V. 23. № . 10. P. 12525.
 - https://doi:10.1364/OE.23.012524
- 7. Lu Yafeng, Wang Chen, Zhao Shiqiang, Wen Yongzheng. // Frontiers Phys. 2021. V. 8. № 622839. https://doi: 10.3389/fphy.2020.622839
- 8. Padmanabhan P., Boubanga-Tombet S., Fukidome H. et al. //Appl. Phys. Lett. 2020. V. 116. № 22. P. 221107.
 - https://doi.org/10.1063/5.0006448
- 9. *Guo T., Argyropoulos C. J.* // Appl. Phys. 2023. V.134. № 5. P. 050901. https://doi.org/10.1063/5.0152664
- 10. Лерер А. М., Макеева Г. С., Черепанов В. В. // РЭ. 2021. Т. 66. № 6. С. 543.
- 11. *Лерер А. М., Иванова И. Н., Макеева Г. С., Черепанов В. В. //* Оптика и спектроскопия. 2021. Т. 129. № 3. С. 342.
- 12. Лерер А. M. // РЭ. 2012. T. 57. № 11. C. 1160.
- 13. *Wang W. H., Apel S. P., Kinaret J. M.*// Phys. Rev. B. 2012. V. 86. № 12. P. 125450.
- 14. *Hanson G. W.* // J. Appl. Phys. 2008. V. 103. № 6. P. 064302.
- 15. *Градитейн И. С., Рыжик И. М.* Таблицы интегралов, сумм, рядов и произведений. М.: Физматлит, 1963.

ELECTRODYNAMIC MODELS MAGNETIZED GRAPHENE DIFFRACTION GRATINGS, BASED ON THE SOLUTION OF INTEGRAL EQUATIONS FOR PLASMONIC ANISOTROPIC STRUCTURES

A. M. Lerer

Southern Federal University, Zorge St., 5, Rostov-on-Don, 344090 Russian Federation E-mail: lerer@sfedu.ru

Received January 09, 2024, revised January 09, 2024, accepted January 25, 2024

Two methods have been used to solve the boundary value problem of diffraction of a plane electromagnetic wave on a diffraction grating of graphene strips in the presence of a magnetic field. In solving the obtained integral and paired adder equations, the Galerkin method was used with a basis in the form of Legendre and Hegenbauer polynomials. As a result, systems of linear algebraic equations with fast internal convergence were obtained. All matrix elements of the system are expressed explicitly.

Keywords: diffraction grating, graphene, magnetic field, integral equations, Galerkin method, plasmon resonance